

3. Рапинчук, А. Л. Состояние и перспективы развития механизации картофелеводства Республики Беларусь/ А. Л. Рапинчук, В.В. Азаренко // Механизация и электрификация сельского хозяйства: межвед. тем. сб., вып. 38. – Мин., 2004. – С. 132–140.
4. Кононученко, Н.В. Зависимость урожайности и семенных качеств картофеля от способов предуборочного удаления ботвы/ Н.В. Кононученко, В.П. Ковшер // Картофелеводство: селекция, семеноводство, агротехника: сб. науч.тр. / БелНИИКПО.— Мин., 1986. – С. 129-136.
5. Кострома, С. П. Обоснование рабочих органов для измельчения ботвы картофеля/ С. П. Кострома// Весці нацыянальнай акадэміі навук беларусі: Сер. аграрных науок – № 5, 2006
6. Kaminski J., Kaminski E Technika oprussku roztworami azotowymi. III Symposium «Inzynieria Systemow Bioagrotechnicznych». – 1993-09-20/21. Politechnica Warszawska, Plock, 1993. Zeszyt 3. – Р. 243-250.
7. Каталог сельхозмашин LMK-2006 [Электронный ресурс]. – Электрон. текстовые дан. и прогр. (416 Мб). – Landwirtschaftsverlag GmbH, Dr.Gottfried Eikel, Redaktion profi. – электрон. опт.
- диск (CD-ROM).
8. Ивакин, О.В. Обоснование технологического процесса и рабочих органов тросового ботвоздробителя: автореф. ... дис. канд. техн. наук / О.В.Ивакин; Новосибирск. обл., 1996. – 18с.
9. Константинов, В.А. Исследование работы цепевого измельчителя. Конструирование и производство сельскохозяйственных машин/ В.А. Константинов// Труды РИСХМа. – Ростов н/Д: университетское изд-во, 1964. – С. 106 – 113.
10. Механизация технологических процессов сельскохозяйственного производства: науч. - техн. бюл./ РАСХН. Сиб. от-ние. – Новосибирск: СибИМЭ, 1997. – Вып. 1. – С. 36 – 38.
11. РД. 10.1.1 Испытания сельскохозяйственной техники. Основные положения. Номенклатура показателей.
12. РД 10.8.5. Испытания сельскохозяйственной техники. Машины для уборки и послеуборочной обработки картофеля. Программа и методика испытаний.
13. РД 10.2.2. Испытания сельскохозяйственной техники. Методы энергетической оценки.

УДК [634.1.055:631.319.4]:632.931

ПОСТУПИЛА В РЕДАКЦИЮ 23.06.2008

К ВОПРОСУ ОБОСНОВАНИЯ РАЦИОНАЛЬНОГО ВЗАИМНОГО РАСПОЛОЖЕНИЯ ПОДАЮЩЕГО И РАСПРЕДЕЛЯЮЩЕГО УСТРОЙСТВ МАШИНЫ ДЛЯ ВНЕСЕНИЯ МУЛЬЧИРУЮЩИХ МАТЕРИАЛОВ В САДАХ

А.А. Жешко, аспирант (РУП «НПЦ НАН Беларусь по механизации сельского хозяйства»)

Аннотация

Предложены формулы, позволяющие определить координаты рационального взаимного расположения оси ротора относительно оси поперечного транспортера машины для внесения мульчирующих материалов, обеспечивающие минимальные габаритные размеры машины по ширине.

Введение

Ввиду того, что мульчирование пристволовых полос проводится один раз в 2-3 года, изготовление специальных машин для внесения мульчирующих материалов является нецелесообразным. Наиболее перспективным техническим решением является изготовление дополнительных распределяющих устройств, которые позволяют использовать серийно выпускающиеся в Республике Беларусь кузовные сельхозмашини для мульчирования путем их нетрудоемкой переналадки.

В качестве базовой машины целесообразно использовать кормораздатчик КР-Ф-10. Это объясняется тем, что использование данной машины, ширина которой составляет 2,2 м, исключает возможность повреждения штамбов, а вместимость кузова 10 м³ позволяет формировать ленту без дозагрузки машины на длине гона 100 – 130 м.

Однако применение распределяющего устройства (адаптера) приводит к дополнительному увеличению ширины машины [1, с.157]. Поэтому важно расположить это устройство таким образом, чтобы ширина машины была минимальной, при этом технологический процесс протекал устойчиво и качественно. Решению этой задачи посвящена настоящая работа.

Основная часть

Объемная производительность Q_M машины для внесения мульчи определяется как

$$Q_M = H \cdot B \cdot u, \quad (1)$$

где H – ширина ленты, м;

B – высота слоя материала в ленте, м;

u – скорость движения агрегата по саду, м/с.

С другой стороны, объемную производительность q поперечного транспортера кормораздатчика

КР-Ф-10 в случае непрерывной выгрузки можно определить через интеграл от текущего значения расхода $Q_o(t)$ по известной зависимости:

$$q = \int_t^{t+\Delta t} Q_o(t) dt = \int_t^{t+\Delta t} S_o(t) \cdot V_o(t) dt, \quad (2)$$

где $S_o(t)$ – средняя площадь сечения слоя материала, м^2 ;

$V_o(t)$ – средняя скорость в определяющем сечении, $\text{м}/\text{с}$.

Поскольку в рассматриваемом случае форма сечения слоя близка к прямоугольной, то площадь определяется как

$$S_o \approx b_{TP} h_C, \quad (3)$$

где b_{TP} – ширина поперечного транспортера, м ;

h_C – высота слоя мульчирующего материала на поперечном транспортере, м .

Учитывая выражение (3) и допуская, что средняя скорость в определяющем сечении $V_o(t)$ равна линейной скорости планки транспортера v_{TP} , формула (2) примет вид:

$$q = k \cdot b_{TP} \cdot h_C \cdot v_{TP}, \quad (4)$$

где k – поправочный коэффициент, который при расчете подающих рабочих органов принято представлять в виде

$$k = k_1 \cdot k_2 \cdot k_3 \cdot k_4,$$

где k_1 – коэффициент, учитывающий разницу между средней фактической скоростью материала и скоростью транспортера;

k_2 – коэффициент уплотнения материала;

k_3 – коэффициент, учитывающий степень использования площади выгрузного отверстия;

k_4 – скоростной коэффициент производительности, характеризующий влияние объема рабочего органа на его производительность.

Необходимо отметить, что варьирование параметра b_{TP} приведет к существенным затратам на переоборудование кормораздатчика КР-Ф-10 (изготовление нового транспортера). Более целесообразным является варьирование частоты вращения вала привода транспортера и, как следствие, изменение линейной скорости планки транспортера v_{TP} . Исходя из этого, будем считать, что ширина транспортера изменяться не будет, т.е. $b_{TP} = \text{const}$.

Приравнивая формулы (1) и (4) получаем зависимость $v_{TP} = f(h_C)$, или

$$v_{TP} = \frac{H \cdot B \cdot u}{b_{TP} \cdot h_C \cdot k}. \quad (5)$$

В соответствии с выражением (5) и с учетом того, что ширина поперечного транспортера остается неизменной ($b_{TP} = \text{const} = 0,6 \text{ м}$), построим nomogramm для допустимых скоростей движения агрегата по саду $v \leq 1,39 \text{ м}/\text{с}$ (рис. 1). Поправочный коэффициент при этом принимаем согласно рекомендациям [2, с.165] $k = 0,92$.

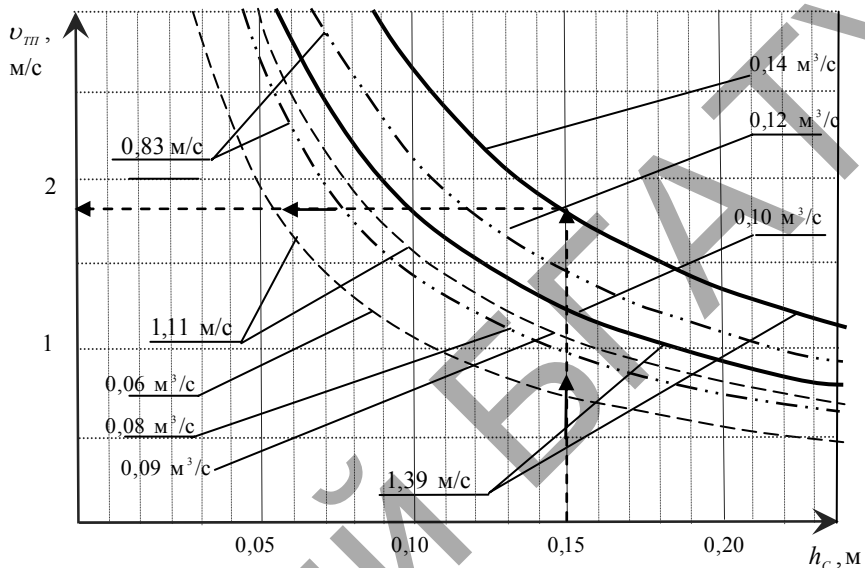


Рисунок 1. Номограмма к выбору линейной скорости планки транспортера v_{TP} в зависимости от высоты слоя материала на нем h_C и поступательной скорости движения агрегата по саду.

Номограмма позволяет выбрать необходимое соотношение скорости v_{TP} и высоты слоя материала на транспортере h_C , обеспечивающих формирование ленты заданных геометрических параметров. Линии, соответствующие одной группе поступательных скоростей агрегата, построены для формирования лент с минимальными ($H=0,12 \text{ м}$, $B=0,60 \text{ м}$) и максимальными ($H=0,15 \text{ м}$, $B=0,75 \text{ м}$) геометрическими параметрами. Кривые выделены одним типом линий (основная, штриховая и штрихпунктирная), которые соответствуют скоростям агрегата $v=1,39, 1,11$ и $0,83 \text{ м}/\text{с}$.

Например, необходимо определить потребную линейную скорость планки транспортера при высоте слоя материала $h_C = 0,15 \text{ м}$, обеспечивающую формирование ленты с максимальными допустимыми геометрическими параметрами (высота $H=0,15 \text{ м}$ и ширина $B=0,75 \text{ м}$). Опускаем перпендикуляр от значения высоты слоя на кривую, находим точку пересечения и определяем значение ординаты, соответствующее точке пересечения $v_{TP} = 1,88 \text{ м}/\text{с}$. Поступательная скорость движения агрегата составляет при этом $v = 1,39 \text{ м}/\text{с}$, а производительность машины $Q = 0,14 \text{ м}^3/\text{с}$.

Увеличение скорости транспортера v_{TP} вызовет отбрасывание частиц на большее расстояние, что потребует смещения ротора от подающего рабочего органа и приведет к увеличению ширины машины

(увеличение горизонтальной координаты взаимного расположения).

Из номограммы видно, что формирование ленты требуемых геометрических параметров может быть достигнуто при различных режимах работы машины.

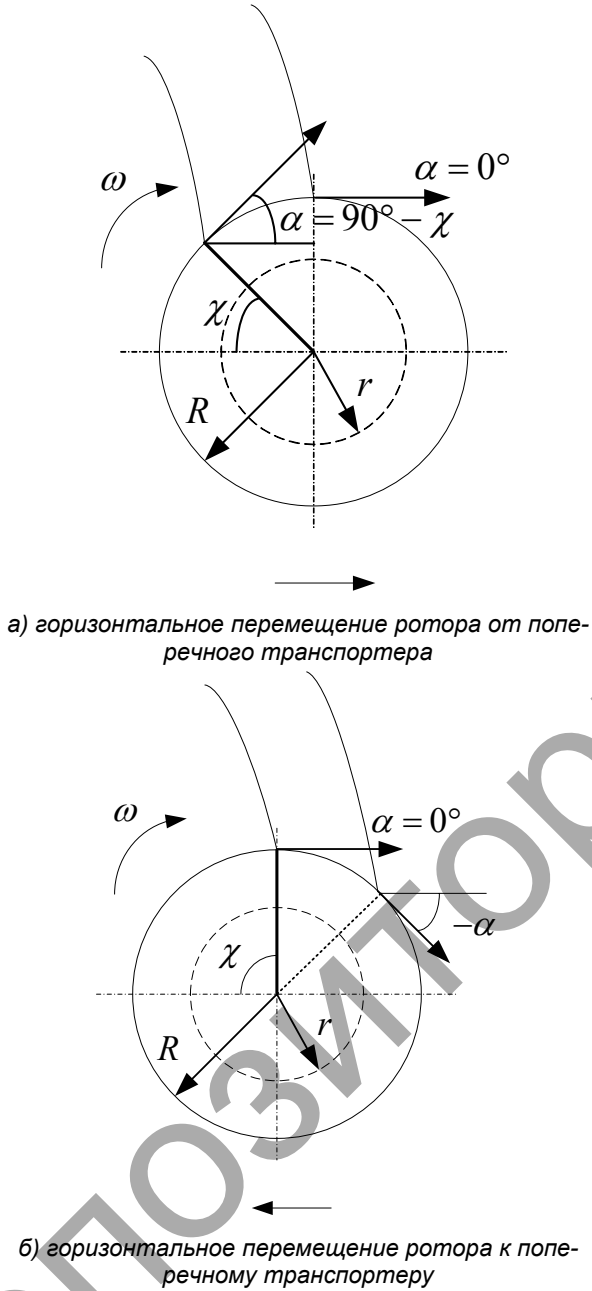


Рисунок 2. Схема к обоснованию взаимного расположения ротора относительно поперечного транспортера и определению угла вхождения лопасти в поток.

Известно, что, выбирая форму определяющего отверстия, нужно стремиться к уменьшению длины неподвижных кромок, ограничивающих поток материала сверху. Для сокращения флюктуаций (кратковремен-

ных отклонений расхода) необходимо, чтобы соблюдалось условие [3, с. 48]:

$$\delta_{cp} \cdot P \leq 0,025 \cdot S_o, \quad (6)$$

где δ_{cp} – средний диаметр частиц материала, м;
 P – часть периметра сечения материала, образованная неподвижными кромками, м.

Поскольку для прямоугольного отверстия $P = 2h_C + 2b_{TP}$, с учетом формулы (3) из неравенства (6) получим:

$$\frac{2\delta_{cp} \cdot b_{TP}}{0,025 \cdot b_{TP} - 2\delta_{cp}} \leq h_C. \quad (7)$$

Тогда при $\delta_{cp} = 1,5 \cdot 10^{-3}$ м из неравенства (7) находим $h_C = 0,15$ м.

Если ротор отодвигать от транспортера (рис. 2а), то большая часть подаваемого материала будет разгружаться по восходящим траекториям, дальность полета частиц при этом существенно увеличится.

Перемещение ротора в направлении к поперечному транспортеру вызовет уменьшение дальности полета частиц (рис. 2б), поскольку в этом случае угол вылета α начнет принимать отрицательные значения для большинства частиц ссыпываемых лопастью.

Преимуществом случая, представленного на рисунке 2б, является то, что при приближении ротора к транспортеру уменьшается ширина машины, что весьма важно для работы в садах с плотной схемой посадки деревьев. Однако полная разгрузка лопасти будет протекать значительно позднее, что приведет к забрасыванию частиц, попавших в межлопастное пространство под ротор. Поэтому наиболее рациональным расположением оси ротора относительно транспортера будет вариант, приведенный на рисунке 2а.

Дальность полета частицы L , выбрасываемой поперечным транспортером кормораздатчика КР-Ф-10, ориентировочно можно определить по известной формуле:

$$L = v^2 \sin 2\alpha / g,$$

где g – ускорение свободного падения, м/с²;

α – угол вылета частицы, отсчитываемый от горизонтали.

Из формулы видно, что максимальная дальность полета будет достигнута при $\alpha = 45^\circ$, поскольку в этом случае $\sin 2\alpha = 1$. Выброс частиц под углом $\alpha = 45^\circ$ будет осуществляться, если угол между лопастью и горизонтом в момент ее входления в поток будет составлять $\chi = 90^\circ - \alpha = 45^\circ$ (рис. 2а). Поэтому для теоретических расчетов принимаем значение угла входа лопасти в поток $\chi = 45^\circ$.

Согласно схеме, приведенной на рисунке 3, определить вертикальную координату взаимного расположения h_p можно по формуле:

$$h_p = h_l - h_C - r_{TP} + R \sin \chi, \quad (8)$$

где h_l – расстояние от начала координат до определяемого сечения потока, м;

h_C – высота слоя материала на поперечном транспортере, м;

r_{TP} – радиус звездочки привода поперечного транспортера, м;

R – радиус, описываемый лопастью ротора, м;
 χ – угол вхождения лопасти в поток.

Тогда для определения горизонтальной координаты взаимного расположения l_p (рис. 3) можно записать:

$$l_p = x_a + R \cos \chi, \quad (9)$$

где x_a – горизонтальная координата, которую можно определить из уравнения движения частицы, выбрасываемой поперечным транспортером:

$$y = h_c + \frac{g(-2k_{\pi}x + e^{2k_{\pi}x} - 1)}{4k_{\pi}^2 v_{tp}^2}. \quad (10)$$

Для определения горизонтальной координаты x_a в уравнение (10) необходимо подставить значение ординаты $y=h_l$ и решить его относительно x .

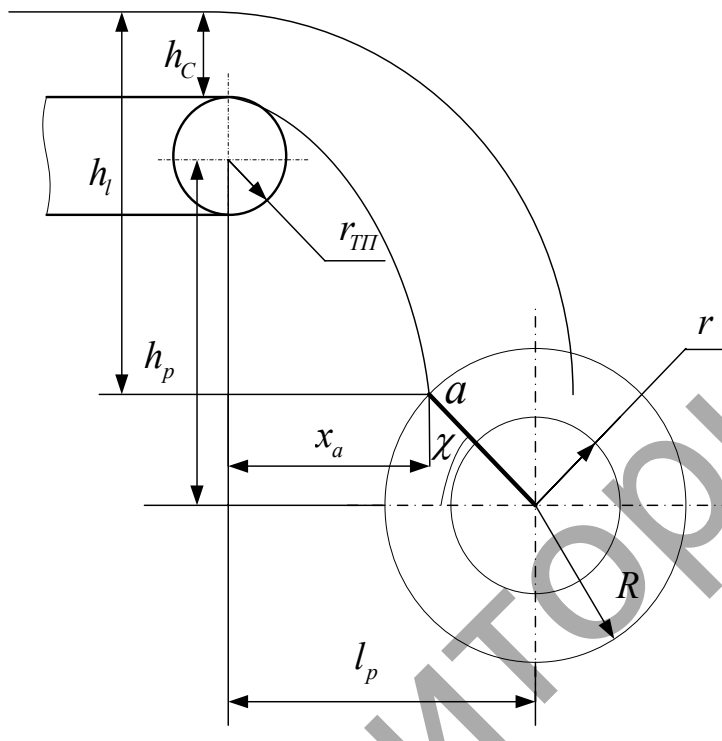


Рисунок 3. Схема к расчету координат расположения ротора относительно поперечного транспортера.

Полученные уравнения (8) – (9) позволяют определить координаты рационального взаимного расположения ротора относительно транспортера. Приведем в качестве примера расчет для определения взаимного расположения оси ротора относительно ведущей оси транспортера на кормораздатчике КР-Ф-10.

Исходные данные:

- коэффициент парусности (среднее значение для опилок) $k_{\pi} = 0,50 \text{ м}^{-1}$;
- высота слоя материала на поперечном транспортере $h_c = 0,15 \text{ м}$;
- линейная скорость планки транспортера $v_{tp} = 1,88 \text{ м/с}$ (принято по номограмме – рис.1);
- расстояние от начала координат до определяемого сечения потока $h_l = 0,4 \text{ м}$;

– радиус звездочки привода поперечного транспортера $r_{tp} = 0,1 \text{ м}$;

– радиус, описываемый лопастью ротора, $R=0,17 \text{ м}$.

Определяем горизонтальную координату. Для этого в уравнение движения частицы (10) подставляем значение ординаты h_l и известные величины

$$0,4 = 0,15 + \frac{9,8 \cdot (-2 \cdot 0,5 \cdot x + e^{2 \cdot 0,5 \cdot x} - 1)}{4 \cdot 0,5^2 \cdot 1,88^2},$$

откуда находим значение горизонтальной координаты $x=x_a=0,39 \text{ м}$.

Вертикальная координата взаимного расположения составит:

$$h_p = 0,4 - 0,15 - 0,1 + 0,17 \cdot \sin 45^\circ = 0,27 \text{ м.}$$

Горизонтальная координата взаимного расположения:

$$l_p = 0,39 + 0,17 \cdot \cos 45^\circ = 0,51 \text{ м.}$$

Выводы

1. Построена номограмма (рис. 1) для выбора рационального соотношения высоты слоя материала и линейной скорости планки поперечного транспортера кормораздатчика КР-Ф-10, которая является основой для определения координат взаимного расположения оси ротора относительно ведущей оси поперечного транспортера.

2. Получены формулы (8) и (9), позволяющие определить координаты рационального взаимного расположения оси ротора относительно оси поперечного транспортера кормораздатчика, обеспечивающие минимальные габаритные размеры машины по ширине. Теоретически определено и экспериментально подтверждено расстояние между осями ротора и поперечного транспортера в вертикальной и горизонтальной плоскостях (соответственно 0,27 м и 0,51 м).

ЛИТЕРАТУРА

1. Жешко, А.А. Эколого-экономические аспекты внесения мульчирующих материалов в пристволовые полосы /А.А. Жешко// Научно-технический прогресс в сельскохозяйственном производстве: материалы Междунар. науч.-практ. конф., Минск, 17–19 октября 2007 г./ РУП «НПЦ НАН Беларуси по механизации сельского хозяйства»; редкол.: В.Н. Дацков[и др]. – Мн., 2007. – С. 154–158.

2. Догановский, М.Г. Машины для внесения удобрений: учеб. пособие / М.Г. Догановский, Е.В. Козловский. – М.: Машиностроение, 1972. – С. 223–229.

3. Видинеев, Ю.Д. Дозаторы непрерывного действия: учеб. пособие / Ю.Д. Видинеев. – М.: Энергия, 1978. – С.46- 50.